

## Research Paper

## Numerical Investigation on Effective Parameters on Hydraulic Flows in a Sluice Gate with Sill on Free-Flow Condition

Rasoul Daneshfaraz<sup>1</sup>, Reza Norouzi<sup>2\*</sup>, Parisa Ebadzadeh<sup>3</sup> and Hamid Reza Abbaszadeh<sup>3</sup>

<sup>1</sup>Professor, Department of Civil Engineering, Faculty of Engineering, University of Maragheh, Maragheh, Iran

<sup>2</sup>PhD Alumni, Department of Water Engineering, Faculty of Agriculture, University of Tabriz, Tabriz, Iran

<sup>3</sup>M.Sc. Student, Department of Civil Engineering, Faculty of Engineering, University of Maragheh, Maragheh, Iran

## Article information

Received: July 17, 2021

Revised: October 24, 2021

Accepted: October 25, 2021

## Abstract

The presence of a sill under the sluice gate is one of the solutions to control the flow rate. This study was conducted to numerically investigate the discharge coefficient ( $C_d$ ) of sluice gates with different heights and widths of sills in free flow conditions. The simulations were performed using FLOW-3D software. Results show that  $C_d$  increases as the gate opening decreases. Also, results showed that reducing the gate opening from 5 cm to 2 cm increases the  $C_d$  in the gate with sill by 9% compared to the non-sill gate. Discharge coefficients with 1 cm and 4 cm sills, compared to the non-sill condition were estimated at 1.5% and 18%, respectively. Examination of sill width changes showed that decreasing the width reduces the discharge coefficient by reducing the amount of velocity and flow pressure along the sill sides. The effects of three parameters of the gate opening, sill height, and sill width were compared. The results showed that increasing the sill width compared to the two mentioned parameters has the maximum increase in the  $C_d$ .

\*Corresponding author:  
[rezanorouzi1992@tabrizu.ac.ir](mailto:rezanorouzi1992@tabrizu.ac.ir)



© Authors, Published by Environment and Water Engineering journal. This is an open-access article distributed under the CC BY (license <http://creativecommons.org/licenses/by/4.0/>).



## Introduction

Gates are one of the most important flow control structures that are used to regulate and distribute flow in irrigation canals. One of the most widely used types of Gates is the

sluice gate. One of the solutions to increase the discharge of the sluice gate is to use a sill under the gate. So that by studying the sills more, methods can be adopted to increase the discharge coefficient of sluice gates. In

recent years, the effect of sills with different geometric shapes has been studied by researchers to select the appropriate sill to increase the discharge coefficient of sluice gates. Investigation of the dimensions of the sill is one of the issues affecting the flow discharge coefficient. In this study, the sill dimensions including height and sill width were investigated and simulated. Using sills at different heights and widths have a distinct effect on the discharge coefficient. Because the sill reduces the effective width of the channel. The cross-section under the sluice gate will be different with the use of sills in different dimensions.

### Material and Methods

In the present study, the simulations were performed using FLOW-3D software edition 11 (Ver. 2). The results of numerical data are validated with the experimental results of Alhamid (1999), and the conditions without sill were used. The experiments were performed on a 9.45 m long and 30.5cm wide flume. A symmetry (S) boundary condition was used for the upper boundary, specific discharge ( $Q$ ) was used for the input flow, and outlet (O) conditions for flow for the downstream boundary. Wall (W) boundary conditions were used for the bed and sidewalls. To compare numerical and experimental values, the statistical indices of absolute error percentage (AE) and relative error percentage (RE) were used. To reduce the error in selecting the appropriate mesh, the cell size was gradually reduced. The results showed that the error rate in 0.06 cm was acceptable. To ensure the results, a cell size of 0.05 cm was also evaluated. In this case, the error value was calculated close to the previous case. In order to find the best turbulence model, calculations were performed using three turbulence models RNG,  $\omega$ -k, and k- $\epsilon$ , then the results of turbulence models were compared with experimental results. RNG model, due to low values of relative error percentage and absolute error percentage were selected to continue the simulations. To calibrate the

numerical model, flow discharge coefficient at five different discharges were used. Finally, results were compared with experimental data. A total of 85 models were designed in states for simulations. Thus, in the first case, by keeping the constant value for the sill height, the effect of gate opening of 2 to 5 cm on the discharge coefficient was studied. In the next case, with the constant value for gate opening, the sill was installed at four heights of 1, 2, 3, and 4 cm below the gate, and in the third case, the discharge coefficient with the sill was examined in the widths of 15.5, 20.5, 25.5 and 30.5 cm evaluated. The discharge range varied from 0.028 to 0.012  $m^3/s$ . Each experiment involves measuring the water depth upstream of the gate and calculating the discharge coefficient of the sluice gate through Eq. (1).

$$C_d = \frac{Q}{GB \sqrt{2gH}} \quad (1)$$

### Results

The results of the numerical solution of the present study were compared with the experimental results of another research. The value of the root of the mean square error (RMSE) and correlation coefficient ( $R^2$ ) were estimated to be 0.03 and 0.98, respectively. The results of gate opening changes showed that the reduction of opening in two states without a sill and with a sill affects the discharge coefficient. In other words, the discharge coefficient increases with decreasing opening. Finally, the maximum discharge coefficient is for the minimum opening, and with an increasing opening from 2 cm to 5 cm, the discharge coefficient decreases. The results showed that at the highest opening ( $G = 5$  cm), the discharge coefficient with a sill of 1.35% and the lowest opening ( $G = 2$  cm), 9% compared to the without sill state. The effect of sill height on the discharge coefficient showed that the presence of sill at all heights increases the discharge coefficient of the gate. Because the sill with the lowest height has also increased the discharge coefficient compared to the without sill state. Sill placement at different widths showed that reducing the sill width reduces the flow

velocity adjacent to the flume walls. So that the minimum velocity is related to the sill with the lowest width and with increasing the sill width, the values of longitudinal velocity adjacent to the sill increase. Investigation of the discharge coefficient at the sill with the smallest width showed that this sill has the minimum value of the discharge coefficient between the sills. Because with increasing width, the cross-section of the flow under the gate decreases and as a result increases the coefficient of flow.

### **Conclusions**

The most important results of the present study can be expressed as follows:

1. Decrease in the rate of the gate opening, in the without sill state, caused an increase in the discharge coefficient of the sluice gate. By placing the sill under the gate, the discharge coefficient also increased with decreasing gate opening.
2. The results of sill height changes showed that the presence of the sill even with the minimum height affects the performance of the sluice gate, which means that it increases

the discharge coefficient. The minimum and maximum increase of discharge coefficient at the sill with the height of 1 and 4 cm were calculated 1 and 18% compared with the without sill state, respectively.

3. Examination of sill discharge coefficient with changes in sill width showed that the discharge coefficient at the suppressed sill has increased by 20% compared to the without sill state. Because the sill with a larger width reduces the cross-sectional area of the flow and thus increases the discharge coefficient.

### **Acknowledgment**

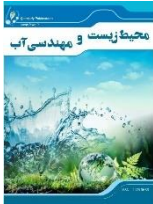
The authors of the article would like to thank all those who contributed to the writing of the article.

### **Data Availability**

The data can be sent on request by the corresponding author via email.

### **Conflicts of interest**

The authors of this paper declared no conflict of interest regarding the authorship or publication of this article.



ISSN: 2476-3683

## محیط‌زیست و مهندسی آب

Homepage: [www.jewe.ir](http://www.jewe.ir)

مقاله پژوهشی

## بررسی عددی پارامترهای مؤثر بر هیدرولیک جریان دریچه کشویی با آستانه در شرایط جریان آزاد

رسول دانشفراز<sup>۱</sup>، رضا نوروزی<sup>۲\*</sup>، پریسا عبادزاده<sup>۳</sup> و حمیدرضا عباسزاده<sup>۳</sup>

<sup>۱</sup>استاد، گروه عمران، دانشکده فنی و مهندسی، دانشگاه مراغه، مراغه، ایران

<sup>۲</sup>دانشآموخته دکتری، گروه مهندسی آب، دانشکده کشاورزی، دانشگاه تبریز، تبریز، ایران

<sup>۳</sup>دانشجوی کارشناسی ارشد، گروه مهندسی عمران، دانشکده فنی و مهندسی، دانشگاه مراغه، مراغه، ایران

### اطلاعات مقاله

### چکیده

تاریخ دریافت: [۱۴۰۰/۰۴/۲۶]

تبیهه آستانه در زیر دریچه کشویی از جمله راهکارهای کنترل دبی عبوری است. این پژوهش با هدف بررسی عددی ضریب دبی دریچه کشویی با ارتفاع و عرض های مختلف آستانه در شرایط جریان آزاد انجام شد. شبیه سازی ها با استفاده از نرم افزار FLOW-3D صورت گرفت. نتایج نشان داد که با کاهش بازشدنگی، ضریب دبی افزایش می یابد چرا که کاهش بازشدنگی از ۵ به ۲ cm، ضریب دبی در حالت با آستانه را ۹٪ نسبت به حالت بدون آستانه افزایش داد. میزان افزایش ضریب دبی دریچه کشویی با آستانه به ارتفاع ۱ و ۴ cm ۴ نسبت به حالت بدون آستانه بهتر ترتیب ۱/۵ و ۱۸٪ براورد شد. بررسی تغییرات عرض آستانه نشان داد که کاهش عرض آستانه، با کاهش در مقدار سرعت و فشار جریان در کناره های آستانه، ضریب دبی را کاهش می دهد. تأثیر سه پارامتر بازشدنگی دریچه، ارتفاع و عرض آستانه مقایسه گردید. نتایج نشان داد که افزایش عرض آستانه نسبت به دو پارامتر ذکر شده، حداقل افزایش ضریب دبی را به همراه دارد.

تاریخ بازنگری: [۱۴۰۰/۰۸/۰۲]

تاریخ پذیرش: [۱۴۰۰/۰۸/۰۳]

### واژه های کلیدی:

الگوی جریان

سرعت جریان

ضریب دبی

فشار جریان

FLOW-3D

\*نویسنده مسئول:

rezanorouzi1992@tabrizu.ac.ir



### ۱- مقدمه

دربیچه ها از جمله مهم ترین سازه های کنترل کننده جریان می باشند که برای تنظیم و توزیع جریان در شبکه های آبیاری مورد استفاده قرار می گیرند. دبی عبوری از زیر دریچه ها به علت کنترل میزان آب رها شده و صرفه جویی در مصرف آب از مسائل مهم در مهندسی هیدرولیک بشمار می آید. از جمله موارد به کار گیری دریچه ها می توان به بالای تاج سرریز، محل خروج آب از دریاچه و کانال های آبیاری و زهکشی اشاره نمود. دریچه ها خود به انواع مختلفی تقسیم می گردند که هر کدام دارای مزیت هایی می باشند. از پر کاربرد ترین نوع دریچه ها، دریچه های کشویی هستند. یکی از راهکارها به

آنها نشان داد که زاویه شب دریچه از جمله پارامترهای مؤثر بر ضریب‌دبی جریان می‌باشد. به طوری که با افزایش زاویه به ازای ارتفاع آب بالادرست و یک بازشگی ثابت، Daneshfaraz et al. (2016) ضریب‌دبی افزایش می‌یابد. به بررسی عددی تأثیر هندسه لبه دریچه‌کشویی بر مشخصات جریان با استفاده از نرم‌افزار FLOW-3D پرداختند. آنها با انتخاب دریچه با ۵ شکل هندسی متفاوت شامل لبه ساده، گرد شکل، دندانه‌دار، لبه‌تیز در قسمت بالادرست و لبه‌تیز در قسمت پایین‌دست، دبی عبوری از دریچه‌کشویی را با بهره‌گیری از روش حجم محدود مورد بررسی قرار دادند. نتایج نشان داد که محل فشار در همه دریچه‌ها ثابت بوده ولی مقادیر آنها متفاوت می‌باشد و همچنین نتایج نشان داد که ضریب‌دبی دریچه‌لبه‌تیز نسبت به سایر دریچه‌ها کمتر می‌باشد. Rady (2016) به بررسی ویژگی‌های جریان زیر دریچه‌های عمودی و مایل با استفاده از شبکه‌های مصنوعی پرداخت. ایشان مدل شبکه عصبی مصنوعی (ANN) را مدل مناسب برای پیش‌بینی ضریب‌دبی دریچه‌های کشویی عمودی و مایل عنوان کرد. Aydin and Emre (2017) FLOW با استفاده از نرم‌افزار 3D خطوط سرعت جریان را در پایین‌دست دریچه‌کشویی بررسی کردند. مطالعات آنها نشان داد که حضور آستانه در پایین‌دست دریچه‌کشویی سبب کاهش سرعت جریان در این محدوده می‌گردد. Karami et al. (2020) پارامترهای هندسی آستانه بر ضریب‌دبی دریچه‌های کشویی در جریان آزاد را با استفاده از نرم‌افزار FLOW-3D مورد بررسی قرار دادند. نتایج نشان داد که آستانه‌های نیم دایری و مستطیلی در صورتی که در زیر دریچه‌کشویی قرار گیرند، باعث افزایش ضریب‌دبی دریچه‌کشویی می‌گردند. Salmasi and Norouzi (2020) به بررسی آزمایشگاهی تأثیر آستانه‌های چندوجهی و غیرچندوجهی بر ضریب‌دبی دریچه‌کشویی پرداختند. با بررسی اشکال هندسی متفاوت روشن شد که آستانه مثلثی در بین چندضلعی‌ها و آستانه دایروی در بین آستانه‌های غیرچندوجهی بیشترین ضریب‌دبی را دارند. به طوری که آستانه دایروی ضریب‌دبی را حداقل ۲۳٪ و حداقل ۳۱٪ افزایش می‌دهد. Salmasi and Abraham (2020) با مطالعه آزمایشگاهی، تأثیر شکل آستانه را بر ضریب‌دبی دریچه‌کشویی مورد مطالعه قرار دادند. آنها در این تحقیق مهم‌ترین عامل تأثیرگذار بر ضریب‌دبی را پارامتر عمق آب بالادرست دریچه‌کشویی بر محیط خیس

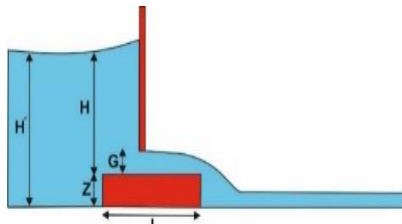
منظور افزایش دبی عبوری از زیر دریچه‌کشویی استفاده از آستانه می‌باشد. به طوری که با مطالعه بیشتر آستانه‌ها، می‌توان روش‌هایی جهت افزایش ضریب‌دبی دریچه‌های کشویی اتخاذ نمود. یکی از مسائل مهم در رابطه با دریچه‌های کشویی، دبی و به تبع آن ضریب‌دبی آنها می‌باشد. بنابراین با مطالعه گسترده در این حوزه، می‌توان روش‌های مؤثری جهت عملکرد بهتر دریچه‌ها ارائه کرد.

Alhamid (1999) تأثیر هندسه آستانه بر ضریب‌دبی جریان زیر دریچه‌کشویی را در شرایط جریان آزاد به صورت آزمایشگاهی بررسی نمود. نتایج ایشان نشان داد که آستانه دایره‌ای و در بین چندضلعی‌ها آستانه مثلثی بیشترین تأثیر بر مقدار ضریب‌دبی را دارند. Lin et al. (2002) به بررسی ضریب‌انقباض دریچه‌کشویی در شرایط متفاوت هیدرولیکی پرداختند. آنها در این مطالعه ضریب‌انقباض دریچه‌کشویی را با هندسه انتهایی لبه تیز و دور مورد بررسی قرار دادند. در این پژوهش ضریب‌انقباض برای دریچه‌کشویی لبه‌تیز ۰/۷۵ و برای دریچه‌کشویی مدور برابر ۰/۶۵ تا ۰/۶۱ را آورد گردید. Shivapur and Shesha Prakash (2005) با ایجاد تغییر در زاویه انحراف دریچه‌کشویی، به بررسی ضریب‌دبی عبوری پرداختند. در این پژوهش، با انحراف دریچه به سمت بالادرست، چهار زاویه صفر، ۱۵، ۳۰ و ۴۵ درجه مورد آزمایش قرار گرفت. نتایج نشان داد که افزایش در زاویه انحراف دریچه، به علت افزایش در همگرایی جریان عبوری ضریب‌دبی را افزایش می‌دهد. Akoz et al. (2009) سرعت جریان در بالادرست دریچه‌کشویی را به صورت آزمایشگاهی و عددی مورد بررسی قرار دادند. نتایج نشان داد که مدل آشفتگی  $k-e$  دارای توانایی قابل توجهی در شبیه‌سازی پروفیل سطح آزاد آب و میدان سرعت نسبت به مدل آشفتگی  $k-w$  می‌باشد. Mohammed and Khaleel (2013) به مطالعه تأثیر زاویه انحراف دریچه‌کشویی بر ضریب‌دبی همراه با تغییر در هندسه انتهایی پرداختند. در این تحقیق زاویه انحراف دریچه‌کشویی در جهت جریان و خلاف جهت آن مورد بررسی قرار گرفت. Khalilishayan et al. (2014) با مطالعه ضریب فشرده‌گی دریچه‌های کشویی، معادله‌ای برای تخمین ضریب‌دبی در شرایط آزاد ارائه دادند. نتایج نشان داد که معادله ارائه شده، دارای دقت بالایی بوده و قابل قبول می‌باشد. Ilkhanipour-Zeinali et al. (2015) با تغییر شبیه‌سازی دریچه‌کشویی مشخصات هیدرولیکی جریان را به صورت آزمایشگاهی بررسی کردند. نتایج حاصل از مطالعات

نسبت به حالت شاهد (بدون آستانه) می‌گردد. همین امر ضریب‌دبی را که تابع مساحت بازشدگی دریچه‌کشویی است را تحت تأثیر قرار می‌دهد. از آنجاییکه مطالعه تغییرات عرض آستانه بر ضریب‌دبی به صورت عددی تاکنون انجام نشده و بررسی آن در بین پژوهش‌ها خالی است، لذا در این پژوهش به بررسی تغییرات پارامترهای هیدرولیکی شامل ارتفاع و عرض آستانه پرداخته شد. مطالعه تغییرات سرعت، فشار و ضریب‌دبی جریان با جای‌گذاری آستانه در زیر دریچه‌کشویی هدف اصلی پژوهش حاضر بود. شبیه‌سازی‌ها با استفاده از نرم‌افزار FLOW-3D انجام و در نهایت میزان تغییرات ضریب‌دبی در هر حالت مورد بحث و ارزیابی قرار گرفت.

## ۲- مواد و روش‌ها

نمای شماتیک پژوهش حاضر طبق شکل (۱)، می‌باشد که در آن جریان با خروجی آزاد نشان داده شده است. در این پژوهش با بهره‌گیری از عمق آب بالادست، ضریب‌دبی از رابطه (۱) محاسبه شد (Negm et al. 2020; Heidari et al. 2020; Daneshfaraz et al. 1998).



شکل ۱- نمای شماتیک از دریچه مورد مطالعه و متغیرهای آن در پژوهش حاضر

Fig.1 Schematic view and variables of the present research

$$C_d = \frac{Q}{GB \sqrt{2gH}} \quad (1)$$

## ۱- آنالیز ابعادی

ضریب‌دبی دریچه‌کشویی با آستانه در حالت جریان آزاد به پارامترهای مؤثر در رابطه (۲) بستگی دارد (Salmasi and Norouzi 2020).

$$f_1(C_d, \rho, Q, g, \mu, H, G, Z, b) = 0 \quad (2)$$

که،  $C_d$  ضریب‌دبی جریان (بدون بعد)،  $B$  عرض کanal ( $L$ )،  $\rho$  جرم مخصوص آب ( $M/L^3$ ),  $Q$  دبی جریان ( $L^3/T^1$ ),  $g$  شتاب گرانش زمین ( $L/T^2$ ),  $\mu$  ویسکوزیته دینامیکی آب ( $M/L^1T^1$ ),  $H$  عمق آب پشت دریچه ( $L$ ),  $G$  میزان بازشدگی دریچه ( $L$ ),  $Z$  ارتفاع آستانه ( $L$ ) و  $b$  عرض آستانه

شده آستانه ( $H/P$ ) و پارامتر ارتفاع آستانه بر بازشدگی دریچه ( $Z/G$ ) عنوان کردند. Ghorbani et al. (2020) با استفاده از روش یادگیری ماشین  $H_2O$ , تأثیر شکل آستانه بر ضریب‌دبی دریچه‌کشویی را مورد مطالعه قرار دادند. آن‌ها با ۱۲ آستانه مختلف و در چهار بازشدگی متفاوت ضریب‌دبی جریان را مورد بررسی قرار دادند. نتایج نشان داد که روش یادگیری ماشین  $H_2O$  عملکرد خوبی در تخمین ضریب‌دبی دریچه‌کشویی دارد. Salmasi et al. (2021) با استفاده از SVM<sup>۱</sup> داده‌های آزمایشگاهی و به کارگیری مدل‌های هوش<sup>۱</sup> با افزایش زاویه قرارگیری دریچه، ضریب‌دبی افزایش می‌یابد. Yoosefdoost and Lubitz (2022) به مطالعه آزمایشگاهی ضریب‌دبی دریچه‌های کشویی پرداختند. ایشان در این تحقیق روابطی با دقت قابل قبول جهت تحلیل و مقایسه ضریب‌دبی دریچه‌کشویی را برای مدل‌های مورد مطالعه ارائه دادند. Daneshfaraz et al. (2022a) به بررسی آزمایشگاهی تأثیر شکل هندسی آستانه بر ضریب‌دبی جریان در شرایط آزاد پرداختند. نتایج نشان داد که بیشترین ضریب‌دبی به آستانه نیمه‌استوانه‌ای مربوط می‌گردد. Daneshfaraz et al. (2022b) آزمایشگاهی تأثیر آستانه در موقعیت‌های مختلف قرارگیری نسبت به دریچه‌کشویی پرداختند. نتایج نشان داد که با قرارگیری آستانه در حالت مماس بر بالادست دریچه‌کشویی، بیشترین ضریب‌دبی حاصل می‌گردد.

بررسی مطالعات گذشته نشان داد که پژوهش‌های انجام گرفته در زمینه دریچه‌های کشویی از گذشته مورد توجه محققین بوده است و همواره روش‌هایی جهت توسعه عملکرد ضریب‌دبی دریچه‌ها ارائه شده است. در سال‌های اخیر تأثیر آستانه با اشکال هندسی متفاوت مورد مطالعه پژوهشگران قرار گرفته است تا با انتخاب آستانه مناسب، بتوان دبی عبوری از دریچه را افزایش داد. بررسی شکل و ابعاد آستانه از جمله مسائل تأثیرگذار بر ضریب‌دبی جریان می‌باشد. استفاده از آستانه موجب تغییر در سطح مقطع زیر دریچه

<sup>1</sup>Support Vector Machine

<sup>2</sup>Artificial Neural Networks

<sup>3</sup>Generalized Regression Neural Network

<sup>4</sup>Random Forest

<sup>5</sup>Gaussian Process

<sup>6</sup>Random Tree

## ۲-۲- روابط حاکم بر جریان

در پژوهش حاضر شبیه‌سازی‌ها با استفاده از نرم‌افزار FLOW-3D ویرایش ۱۱ نسخه ۲ صورت گرفت. این نرم‌افزار یکی از مهم‌ترین نرم‌افزارهای دینامیک سیالات محاسباتی می‌باشد که به دلیل سرعت و دقت بالا مورد توجه محققین قرار گرفته است (Amini and Asadi Parto 2017). معادلات حاکم بر جریان، در این نرم‌افزار معادلات ناویراستوکس می‌باشد. نرم‌افزار جهت شبیه‌سازی جریان، معادلات ناویر استوکس و پیوستگی را گسسته‌سازی نموده و معادلات دیفرانسیل را به معادلات جبری تبدیل می‌کند. روابط (۵ تا ۹)، بیان‌گر این معادلات می‌باشند. (Flow science Inc. 2016)

(L) می‌باشد. طبق قضیه بی- باکینگهام و با در نظر گرفتن ( $H, \rho, g$ ) به عنوان متغیرهای تکراری، پارامترهای بی‌بعد برای دریچه با آستانه به صورت رابطه (۳)، ارائه می‌شود. (Negm et al. 1998; Daneshfaraz et al. 2022c)

$$f_2\left(\frac{1}{Fr}, C_d, \frac{1}{Re}, \frac{G}{H}, \frac{Z}{H}, \frac{b}{H}\right) = 0 \quad (3)$$

که،  $Re$  معرف عدد رینولدز جریان می‌باشد که در تحقیق حاضر با توجه به اینکه رینولدز بین ۴۵۷۰ تا ۹۳۴۵ و جریان آشفته است. لذا می‌توان از تأثیر این پارامتر صرف‌نظر کرد. (Daneshfaraz et al. 2021) همچنین  $Fr$  بیانگر عدد Salmasi فرود زیر دریچه و برابر ضریب‌دی جریان می‌باشد (and Norouzi 2020 (4)، بازنویسی می‌شود.

$$C_d = f_3\left(\frac{H}{G}, \frac{Z}{H}, \frac{b}{H}\right) \quad (4)$$

(5)

$$\frac{\partial p}{\partial t} + \frac{\partial}{\partial x_i} (\rho u_i) = 0$$

$$V_F \frac{\partial \rho}{\partial t} + \frac{\partial}{\partial x} (\rho u A_x) + R \frac{\partial}{\partial y} (\rho v A_y) + \frac{\partial}{\partial z} (\rho w A_z) = R_{SOR} + R_{DIF} \quad (6)$$

$$\frac{\partial u}{\partial t} + \frac{1}{V_F} \left( u A_x \frac{\partial u}{\partial x} + v A_y \frac{\partial u}{\partial y} + w A_z \frac{\partial u}{\partial z} \right) = -\frac{1}{\rho} \frac{\partial P}{\partial x} + G_x + f_x \quad (7)$$

$$\frac{\partial v}{\partial t} + \frac{1}{V_F} \left( u A_x \frac{\partial v}{\partial x} + v A_y \frac{\partial v}{\partial y} + w A_z \frac{\partial v}{\partial z} \right) = -\frac{1}{\rho} \frac{\partial P}{\partial y} + G_y + f_y \quad (8)$$

$$\frac{\partial w}{\partial t} + \frac{1}{V_F} \left( u A_x \frac{\partial w}{\partial x} + v A_y \frac{\partial w}{\partial y} + w A_z \frac{\partial w}{\partial z} \right) = -\frac{1}{\rho} \frac{\partial P}{\partial z} + G_z + f_z \quad (9)$$

جزء  $R_{DIF}$  عبارت پخش آشفته‌گی،  $V_F$  کسر حجمی سیال و  $P$  نمایانگر فشار می‌باشند. این معادله در حالت کلی به صورت رابطه (۱۰) بیان می‌گردد.

$$\rho \left( \frac{\partial u_i}{\partial t} + u_j \frac{\partial u_i}{\partial x_j} \right) = -\frac{\partial p}{\partial x_i} + B_i + \frac{\partial}{\partial x_i} \left[ \mu \left( \frac{\partial u_i}{\partial x_i} + \frac{\partial u_j}{\partial x_i} - \frac{2}{3} \delta_{ij} \frac{\partial u_k}{\partial x_k} \right) \right] \quad (10)$$

## ۳-۲- شبکه حل و شرایط مرزی

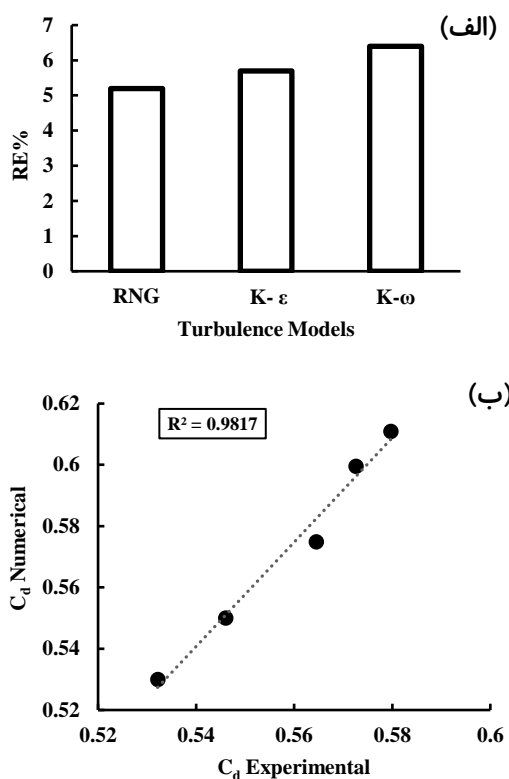
برای صحبت‌سنجی از داده‌های به دست آمده از مدل آزمایشگاهی در شرایط حالت بدون آستانه استفاده شد. آزمایش‌های ایشان در فلومی به طول  $m = ۹/۴۵$  m و عرض  $m = ۰/۳۰۵$  m انجام گرفت. این فلوم شامل دو دریچه بوده که یکی از دریچه‌ها در ابتدا و دیگری در انتهای فلوم جهت کنترل پرش هیدرولیکی و سطح آب می‌باشد. ایشان در مجموع ۱۹ آزمایش بر روی ۱۲ آستانه با ارتفاع‌های مختلف انجام داده و تأثیر شکل و ارتفاع آستانه بر ضریب‌دبی جریان را بررسی نمود. مدل سه‌بعدی به کار رفته در این پژوهش، طبق

که،  $(u, v, w)$  مؤلفه‌های سرعت،  $(A_x, A_y, A_z)$  کسری از مساحت مرتبط با جریان،  $(G_x, G_y, G_z)$  شتاب بدنه،  $(f_x, f_y, f_z)$  شتاب ناشی از لزجت در جهت‌های  $(x, y, z)$  منع  $R_{SOR}$  می‌باشد.

که،  $u_i$  و  $u_j$  به ترتیب مؤلفه بردار سرعت لحظه‌ای در جهت  $i$  و  $j$  می‌باشد.  $B_i$  نیروی حجمی در راستای  $i$  و  $\mu$  لزجت دینامیکی سیال،  $\rho$  جرم مخصوص سیال،  $x_i$  و  $x_j$  به ترتیب معرف مشخصات جریان در راستای  $i$  و  $j$  و  $\delta_{ij}$  دلتای کرونکر<sup>۱</sup> که اگر در آن  $i=j$  باشد، مقدار آن برابر یک و در غیر این صورت مقداری برابر صفر دارد (Daneshfaraz et al. 2021).

<sup>۱</sup>Kronecker Delta

افزایش تعداد کل سلول‌ها می‌گردد در نتیجه زمان شبیه‌سازی افزایش می‌یابد. بنابراین، سلول با اندازه cm ۰/۰۶ به عنوان اندازه سلول بهینه که پس از آن تغییری در نتایج خروجی اتفاق نیفتد، انتخاب شد. به منظور انتخاب مدل آشفتگی، نتایج سه مدل RNG، k- $\omega$  و k- $\epsilon$  مقایسه گردید. RNG مدل، به دلیل پایین بودن مقادیر درصد RE و درصد AE، برای ادامه شبیه‌سازی‌ها انتخاب شد. شکل (۳-الف). مطابق شکل (۳-ب)، نتایج حاصل از حل عددی در پژوهش حاضر با نتایج آزمایشگاهی (Alhamid 1999) مورد مقایسه قرار گرفت. مقدار شاخص آماری RMSE و ضریب تبیین ( $R^2$ ) به ترتیب برابر ۰/۰۳ و ۰/۹۸ برآورد شد.

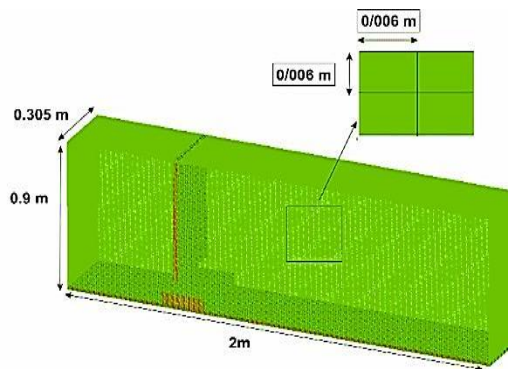


شکل ۳- نمودار مدل‌های آشفتگی و ضریب همبستگی داده‌ها:  
الف) نمودار درصد RE برای مدل‌های آشفتگی (ب) مقایسه ضریب دبی حاصل از حل عددی و آزمایشگاهی

Fig. 3 Graphs of turbulence models and  $R^2$ : a) RE percentage for turbulence models and b) comparisons of numerical and experimental solutions

پس از انتخاب تعداد سلول بهینه، ضریب دبی جریان در دبی‌های مختلف جهت کالیبراسیون مدل، با داده‌های آزمایشگاهی مقایسه گردید. نتایج درصد RE ضریب دبی به

شکل (۲) می‌باشد. شبیه‌سازی با شرط ورودی دبی و برای انتهای کanal شرط مرزی خروجی و همچنین در دیوارهای و کف کanal شرط مرزی دیوار و در سطح فوقانی کanal از شرط مرزی تقارن استفاده گردید.



شکل ۲- شبکه بندی در پژوهش حاضر

Fig. 2 Meshing in this study

بر اساس روابط (۱۱) و (۱۲) از شاخص‌های آماری درصد خطای مطلق (AE)<sup>۱</sup> و درصد خطای نسبی (RE)<sup>۲</sup> در پژوهش حاضر استفاده شد. در روابط ذکر شده  $C_{d(Exp)}$  و  $C_{d(Num)}$  به ترتیب بیانگر ضریب دبی آزمایشگاهی و ضریب دبی عددی می‌باشد.

$$AE = |C_{d(Exp)} - C_{d(Num)}| \times 100 \quad (11)$$

$$RE = \left| \frac{C_{d(Exp)} - C_{d(Num)}}{C_{d(Exp)}} \right| \times 100 \quad (12)$$

جدول ۱- آنالیز حساسیت سلول

Table 1 Mesh Sensitivity Analysis

Row	Cell size (cm)	Total cells	$C_{d(exp)}$	$C_{d(num)}$	AE%	RE%
1	11	259896	0.533	0.595	6.24	11.7
2	0.09	467976	0.533	0.580	4.43	8.87
3	0.08	665000	0.533	0.569	3.36	6.82
4	0.06	1579419	0.533	0.552	1.85	3.47
5	0.05	2732800	0.533	0.549	1.60	3

مقادیر محاسبه شده طبق جدول (۱) بیان شده است. برای کاهش خطای مطلق، به تدریج اندازه سلول کاهش یافت. نتایج نشان داد که میزان خطای در اندازه سلول ۰/۰۶ cm قابل قبول می‌باشد. جهت اطمینان نتایج اندازه سلول ۰/۰۵ cm نیز بررسی گردید. در این حالت مقدار خطای نزدیک به حالت قبل محاسبه شد. با توجه به اینکه کاهش اندازه سلول سبب

<sup>۱</sup>Absolute Error

<sup>۲</sup>Relative Error

آستانه، تأثیر بازشده‌گی‌های متفاوت بر ضریب‌دبی مورد مطالعه قرار گرفت. در حالت بعد با ثابت ماندن بازشده‌گی، آستانه در چهار ارتفاع مختلف در زیر دریچه تعییه شد. در حالت سوم به بررسی ضریب‌دبی با تغییر عرض آستانه پرداخته شد. محدوده دبی از  $m^3/s$   $0.028 - 0.012$  متغیر بوده است. مشخصات فیزیکی مدل‌ها طبق جدول (۳) می‌باشد. هر آزمایش شامل اندازه‌گیری عمق آب بالادست دریچه و محاسبه ضریب‌دبی جریان عبوری از دریچه با آستانه از طریق رابطه (۱)، می‌باشد.

شرح جدول (۲) می‌باشد. نتایج حاکی از این است که بین داده‌های عددی و آزمایشگاهی تطابق بالای وجود دارد.

جدول ۲- کالیبراسیون مدل عددی

Table 2 Calibration of numerical model

Q ( $m^3/s$ )	$C_d(exp)$	$C_d(num)$	RE%
0.01274	0.533	0.549	3
0.01458	0.548	0.561	2.37
0.01501	0.541	0.565	4.47
0.01714	0.565	0.578	2.3
0.01861	0.570	0.584	2.45

در مجموع ۸۵ مدل در ۳ حالت برای شبیه‌سازی‌ها طراحی شد. بدین صورت که در حالت اول با ثابت نگهداشت ارتفاع

جدول ۳- مشخصات فیزیکی پژوهش حاضر (اندازه‌ها بر حسب cm می‌باشند).

Table 3- Physical characteristics of the present study (Sizes are in cm)

Row	Gate opening	Sill height	Row	Sill height	Gate opening	Row	Sill height Gate opening	Sill width
A <sub>1</sub>		1	B <sub>1</sub>		2	C <sub>1</sub>		15.5
A <sub>2</sub>	5	2	B <sub>2</sub>	5	3	C <sub>2</sub>	5	20.5
A <sub>3</sub>		3	B <sub>3</sub>		4	C <sub>3</sub>		25.5
A <sub>4</sub>		4	B <sub>4</sub>		5	C <sub>4</sub>		30.5

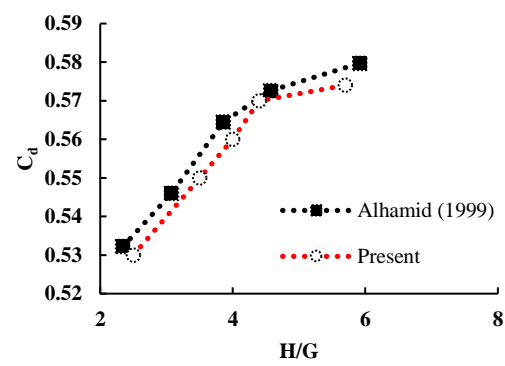
### ۱- تأثیر بازشده‌گی دریچه بر ضریب‌دبی

به منظور مطالعه تأثیر بازشده‌گی دریچه در حالت بدون آستانه، ضریب‌دبی در چهار بازشده‌گی متفاوت شامل ۵ cm و ۴، ۳، ۲ مورد بررسی قرار گرفت (شکل ۵-الف). از جمله پارامترهای مؤثر بر ضریب‌دبی دریچه‌های کشویی، عمق آب بالادست دریچه می‌باشد. افزایش بازشده‌گی دریچه سبب کاهش عمق آب در بالادست دریچه می‌گردد و همین عامل سبب کاهش ضریب‌دبی در بازشده‌گی‌های بیشتر می‌شود. بنابراین با توجه به نتایج می‌توان گفت، بیشترین مقدار ضریب‌دبی مربوط به بازشده‌گی ۲ cm و کمترین مقدار آن در بازشده‌گی ۵ cm دیده می‌شود. در حالت دوم، با در نظر گرفتن آستانه به ضخامت ۰.۵ cm، عرض ۰.۵/۰ cm و ارتفاع ۵ cm تأثیر بازشده‌گی دریچه بر جریان عبوری از دریچه کشویی با آستانه مورد مطالعه قرار گرفت. بازشده‌گی‌ها به ترتیب ۵ cm، ۴، ۳، ۲ در نظر گرفته شد و برای هر مدل دبی در محدوده  $m^3/s$   $0.012 - 0.022$  اعمال شد. شکل (۵-ب).

نتایج شکل (۵) نشان داد که کاهش بازشده‌گی سبب همگرایی جریان زیر دریچه می‌گردد و در نتیجه ضریب‌دبی با کاهش بازشده‌گی، افزایش می‌یابد. در شکل (۵-ب)، بیشترین مقدار ضریب‌دبی به ازای کمترین بازشده‌گی می‌باشد و در نهایت با افزایش بازشده‌گی از ۲ تا ۵ cm، به ترتیب ضریب‌دبی

### ۳- یافته‌ها و بحث

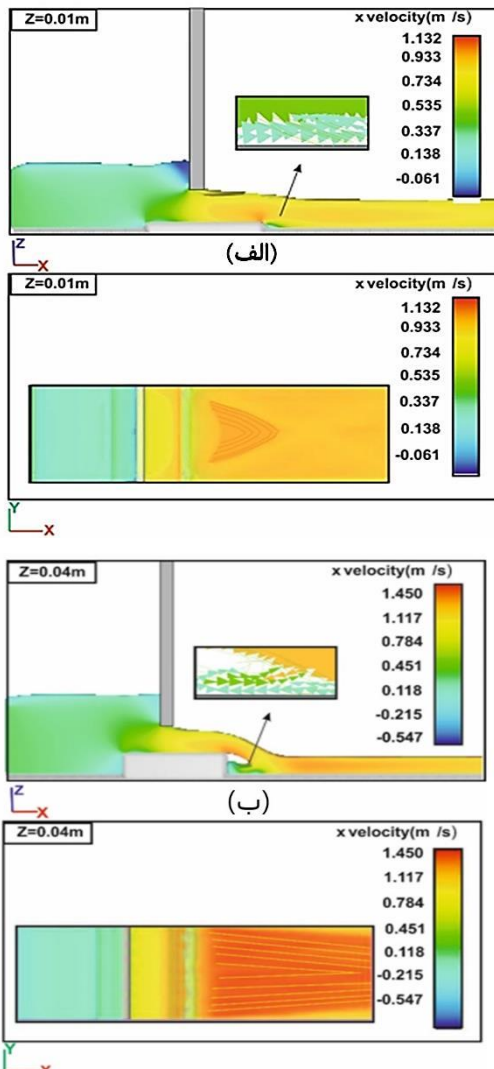
در این پژوهش به تأثیر بازشده‌گی دریچه و همچنین ارتفاع و عرض آستانه بر ضریب‌دبی جریان تحت شرایط جریان آزاد پرداخته شد. به منظور بررسی ضریب‌دبی در بازشده‌گی‌های متفاوت دریچه، هر دو حالت بدون آستانه و با آستانه مورد مطالعه قرار گرفت. سپس ضریب‌دبی جریان با تغییر در ارتفاع و عرض‌های متفاوت آستانه مورد بررسی قرار گرفت. از داده‌های حالت بدون آستانه جهت مقایسه در پژوهش استفاده شد (شکل ۴). با توجه به نتایج می‌توان گفت، این نرمافزار دقت قابل قبولی در تخمین دبی عبوری از دریچه کشویی را دارد.



شکل ۴- مقایسه ضریب‌دبی در پژوهش حاضر با داده‌های آزمایشگاهی Alhamid (1999)

Fig. 4 Comparison of Alhamid (1999) data with the present data

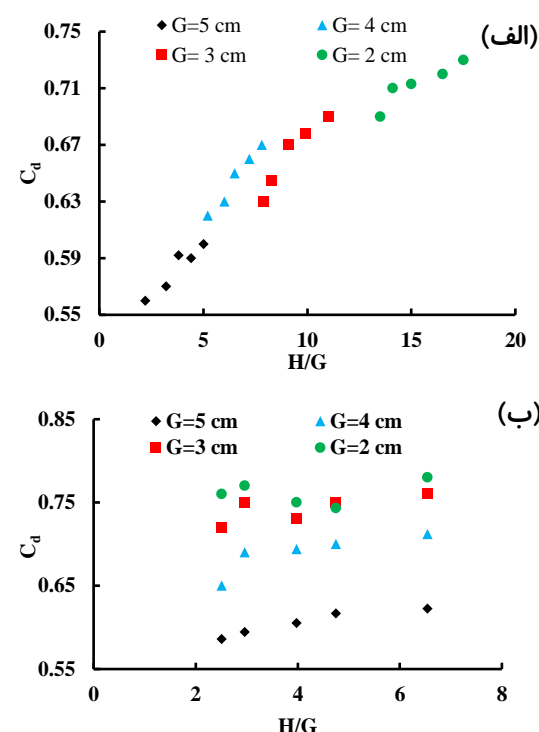
در ارتفاع بزرگ‌تر آستانه می‌گردد. مقایسه سرعت در آستانه با ارتفاع ۴ و ۱ cm نیز صحت این موضوع را تأیید می‌کند. با توجه به شکل فوق می‌توان گفت ایجاد آستانه در ابتدا سبب کاهش سرعت در پایین‌دست و جلوی آستانه و در نزدیکی کف می‌گردد. این کاهش سرعت چنانچه در شکل (۶-ب)، نیز مشاهده می‌شود در آستانه با ارتفاع بزرگ‌تر به‌وضوح اتفاق می‌افتد. دلیل هیدرولیکی این امر، ایجاد جریان‌های چرخشی در پایین‌دست آستانه می‌باشد که با افزایش ارتفاع آستانه از ۱ به ۴ cm جریان‌های گردابه تشکیل شده نیز افزایش می‌یابد. به تدریج و با دور شدن از محل آستانه، سرعت جریان با افزایش قابل توجهی به مقدار ثابت خود می‌رسد. شکل (۶) روند تغییرات سرعت‌طولی را به ترتیب در بالادست و پایین‌دست آستانه نشان می‌دهد.



شکل ۶- سرعت جریان با وجود آستانه: (الف) آستانه ۱ cm و (ب) آستانه ۴ cm

Fig. 6 Flow velocity with sill: a)  $Z=1\text{ cm}$ , and b)  $Z=4\text{ cm}$

کاهش می‌یابد. در بیشترین بازشدگی ( $G = 5\text{ cm}$ ) ضریب‌دبی با آستانه  $\approx 1/35\%$  و در کمترین میزان بازشدگی ( $G = 2\text{ cm}$ )  $\approx 9\%$  نسبت به حالت بدون آستانه افزایش می‌یابد. بر اساس آنالیز ابعادی انجام گرفته، عمق آب پشت دریچه از جمله پارامترهای مؤثر بر ضریب‌دبی می‌باشد. از آنجاییکه با کاهش بازشدگی، عمق آب پشت دریچه افزایش می‌یابد، بنابراین ضریب‌دبی نیز افزایش خواهد یافت و با افزایش بازشدگی، ضریب‌دبی روند نزولی خواهد داشت.



شکل ۵- نمودار تغییرات ضریب‌دبی در بازشدگی‌های متفاوت :  
الف) بدون آستانه، و (ب) با آستانه

Fig. 5 Discharge coefficient changes in different gate openings: a) without sill, and b) with sill

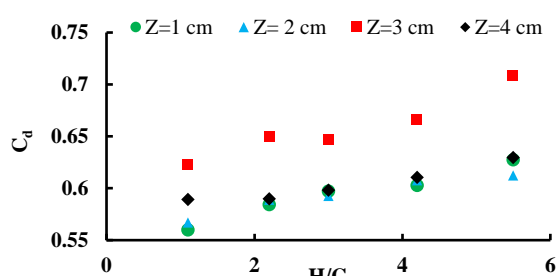
۳-۲-۳- تأثیر ارتفاع آستانه بر سرعت جریان  
حضور آستانه، سرعت جریان و خطوط جریان را در بالادست و پایین‌دست دریچه تحت تأثیر قرار می‌دهد. بدین منظور آستانه با ارتفاع ۴ cm و ۱ در بازشدگی ثابت (۵ cm) مورد ارزیابی قرار گرفت. شکل (۶)، تغییرات سرعت و خطوط جریان با آستانه را در دبی  $Q = 12\text{ m}^3/\text{s}$  نشان می‌دهد.

شکل (۶)، بررسی سرعت جریان در بالادست آستانه در بازشدگی ثابت  $G = 5\text{ cm}$  را نشان می‌دهد. با توجه به نتایج افزایش ارتفاع آستانه سبب کاهش سرعت در این مقطع می-گردد. به طوری که با افزایش ارتفاع، آستانه مانند مانعی در مقابل جریان قرار می‌گیرد و همین امر سبب کاهش سرعت

مقطع با سرعت منفی به وجود می‌آید. علت این امر نیز حضور جریان‌های چرخشی است که سبب کاهش قابل ملاحظه‌ای در مقدار سرعت می‌گردد. ولی به تدریج و با دور شدن از محل آستانه ابتدا سرعت جریان افزایش یافته و سپس به حالت ثابت می‌رسد.

### ۳-۳- تأثیر ارتفاع آستانه بر ضریب‌دبی

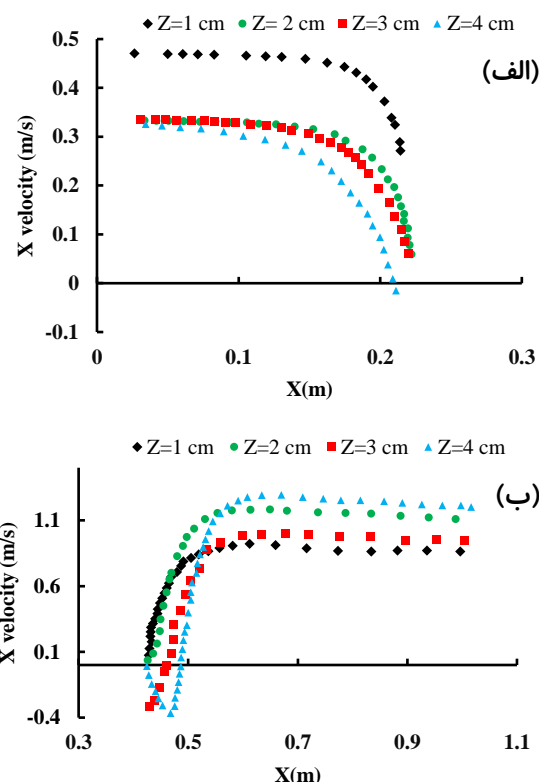
به منظور بررسی ضریب‌دبی در ۴ مدل آستانه، نمودار شکل (۸)، ترسیم شد که در آن محور افقی نسبت بی بعد عمق آب بالا دست بر بازشدگی دریچه می‌باشد و محور عمودی معروف ضریب‌دبی جریان است. در این حالت بازشدگی دریچه ثابت و برابر ۵ cm در نظر گرفته شد. نتایج نشان می‌دهد که حضور آستانه در همه حالت‌ها، ضریب‌دبی دریچه افزایش می‌دهد. تا جاییکه آستانه با کمترین ارتفاع نیز سبب افزایش ضریب‌دبی نسبت به حالت بدون آستانه شده است. با مقایسه داده‌ها می‌توان گفت حداقل و حداقل افزایش ضریب‌دبی در حالت با آستانه به ترتیب مربوط به آستانه با ارتفاع ۱ و ۳ cm می‌باشد. به طوری که ضریب‌دبی دریچه با آستانه ۱ cm حداقل ۱۰/۵٪ و با آستانه ۳ cm حداقل ۱۸٪ نسبت به حالت بدون آستانه افزایش داشته است. بررسی تغییرات ضریب‌دبی با افزایش ارتفاع آستانه نشان داد که ضریب‌دبی تا یک حد مشخص با ارتفاع آستانه رابطه مستقیم دارد. به طوری که با افزایش ارتفاع آستانه، ضریب‌دبی نیز افزایش می‌یابد. اما از یک ارتفاع به بعد که در این تحقیق آستانه با ارتفاع ۳ cm می‌باشد، افزایش ارتفاع آستانه سبب کاهش در مقدار ضریب‌دبی می‌گردد. با توجه به نتایج می‌توان اظهار داشت که با افزایش مقدار  $H/G$  ضریب‌دبی نیز افزایش می‌یابد. بنابراین حضور آستانه سبب توزیع یکنواخت‌تر جریان زیر دریچه می‌گردد و همین علت سبب افزایش ضریب‌دبی در مقایسه با حالت بدون آستانه می‌باشد.



شکل ۸- بررسی تغییرات ضریب‌دبی دریچه کشویی در آستانه با ارتفاع‌های مختلف

Fig. 8 Comparison of sluice gate discharge coefficient with different sill height

این کاهش سرعت چنانچه در شکل (۷-ب)، نیز مشاهده می‌شود در آستانه با ارتفاع بزرگ‌تر به‌وضوح اتفاق می‌افتد. دلیل هیدرولیکی این امر، ایجاد جریان‌های چرخشی در پایین دست آستانه می‌باشد که با افزایش ارتفاع آستانه از ۱ به ۲ cm جریان‌های گردابه تشکیل شده نیز افزایش می‌یابد. به تدریج و با دور شدن از محل آستانه، سرعت جریان با افزایش قابل توجهی به مقدار ثابت خود می‌رسد. شکل (۷)، روند تغییرات سرعت طولی را به ترتیب در بالا دست و پایین دست آستانه نشان می‌دهد.

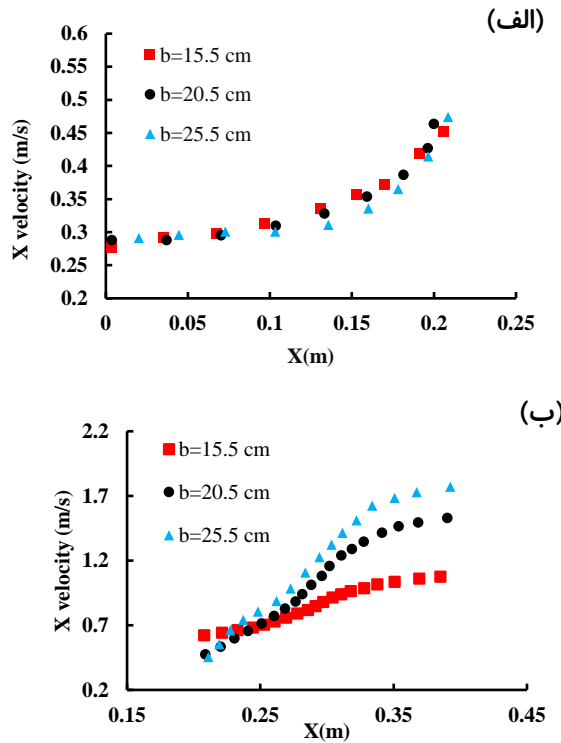


شکل ۷- تغییرات سرعت طولی جریان با آستانه: (الف) در بالا دست آستانه، و (ب) در پایین دست آستانه

Fig. 7 Longitudinal velocity changes in upstream and downstream of sill: a) In upstream of sill, and b) In downstream of sill

با بررسی سرعت طولی در حالت با آستانه می‌توان گفت، در مقطع بالا دست، سرعت جریان با نزدیک شدن به محل قرارگیری آستانه، کاهش می‌یابد. با توجه به شکل (۷)، بیشترین ارتفاع کاهش سرعت مربوط به آستانه با بیشترین ارتفاع می‌باشد. بررسی سرعت در پایین دست آستانه، نشان داد که در جلوی آستانه یک

حداکل فشار در آستانه با عرض  $15/5\text{ cm}$  می‌باشد. ارزیابی نتایج در اطراف آستانه، حاکی از این است که کاهش عرض آستانه، با واگرا کردن خطوط جریان، سبب کاهش در سرعت جریان می‌شود. به طوری که حداکل سرعت مربوط به آستانه با کمترین عرض می‌باشد بررسی سرعت نشان داد که حضور آستانه در عرض‌های مختلف، سبب ایجاد تغییرات ناچیزی در سرعت جریان بالادست دریچه می‌گردد (شکل ۱۰). با نزدیک شدن به محل فوارگیری آستانه، کاهش عرض آستانه نسبت به عرض کل دریچه، سبب افزایش در مقدار سرعت می‌گردد.



شکل ۱۰- نمودارهای سرعت، (الف) سرعت طولی در بالادست، و  
ب) سرعت طولی در اطراف آستانه

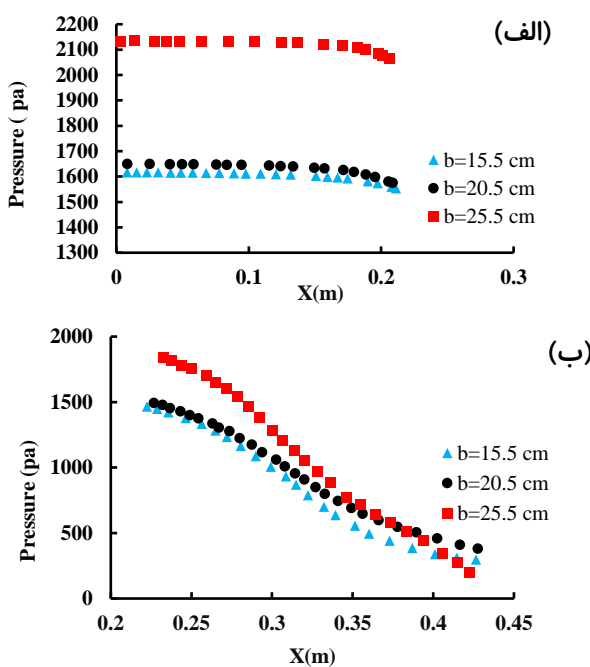
Fig. 10 Velocity chart a) Longitudinal velocity in upstream, and b) Longitudinal velocity beside sill

**۵-۳- تأثیر عرض آستانه بر ضریب‌دبی جریان**  
تغییرات ضریب‌دبی جریان با تغییر عرض آستانه در شکل (۱۱)، نشان داده شده است که در آن محور افقی بیان گر نسبت بی‌بعد  $b/h$  و محور قائم بیان گر ضریب‌دبی جریان می‌باشد.

با بررسی فشار و سرعت در عرض‌های مختلف آستانه، روشن شد که پارامتر عرض آستانه از مهم‌ترین عوامل تأثیرگذار بر مشخصات جریان می‌باشد. نتایج نشان می‌دهد که با کاهش عرض آستانه، ضریب‌دبی کاهش می‌باید. نتایج حاکی از این

#### ۴-۴- تأثیر عرض آستانه بر فشار و توزیع سرعت طولی جریان

در این حالت برای روشن شدن تأثیر عرض آستانه بر ضریب‌دبی جریان، با ثابت نگه داشتن ارتفاع آستانه و بازشده‌گی دریچه، آستانه‌هایی با عرض متفاوت در زیر دریچه تعییه گردید. مقادیر عرض آستانه‌ها از  $30/5\text{ cm}$  تا  $15/5\text{ cm}$  متغیر می‌باشد. به طوری که بیشترین عرض آستانه برابر عرض فلوم در نظر گرفته شد و سپس کاهش یافت. قبل از بررسی ضریب‌دبی، ابتدا سرعت و فشار به ترتیب در مقطع بالادست و اطراف آستانه و در راستای طولی مورد ارزیابی قرار گرفت. شکل (۹).



شکل ۹- تغییرات فشار: (الف) فشار در بالادست دریچه، و ب) فشار در اطراف آستانه

Fig. 9 Pressure changes: a) Pressure in upstream and b) Pressure beside sill

در شکل (۹)، محور افقی بیانگر مقطع طولی و محور قائم نشانگر فشار جریان می‌باشد. چنانچه از شکل (۹-الف)، مشاهده می‌شود کاهش عرض آستانه، سبب کاهش قابل توجهی در مقدار فشار در بالادست دریچه قائم می‌شود. به طوری که با کاهش عرض از  $15/5\text{ cm}$  به  $25/5\text{ cm}$  مقدار فشار ۲۶٪ کاهش می‌باید. با توجه به شکل (۹-ب)، روشن می‌شود که در هر عرض به تدریج با دور شدن از ابتدای آستانه از مقدار فشار کاسته می‌شود. این کاهش فشار بدین صورت است که حداکثر فشار مربوط به آستانه با عرض  $25/5\text{ cm}$  و

شد. مهم‌ترین نتایج پژوهش حاضر به شرح زیر قابل بیان است:

۱- ضریب‌دبی جریان در حالت بدون آستانه با کاهش بازشده‌گی، افزایش می‌یابد. با قرار دادن آستانه در زیر دریچه‌کشویی در بازشده‌گی‌های مختلف ضریب‌دبی در حالت با آستانه بیشتر از بدون آستانه برآورد شد.

۲- حضور آستانه حتی با حداقل ارتفاع بر عملکرد دریچه‌کشویی تأثیر می‌گذارد، به این معنی که سبب افزایش ضریب‌دبی می‌گردد. حداقل و حداقل افزایش ضریب‌دبی در این حالت برابر  $1/5$  و  $18\%$  نسبت به حالت بدون آستانه محاسبه شد.

۳- با کاهش عرض آستانه، فشار و به تبع آن سرعت جریان تحت تأثیر قرار می‌گیرد. به طوری که با کاهش عرض آستانه، سرعت جریان در کناره‌های آستانه و در مجاورت دیواره فلوم کاهش می‌یابد. همین امر سبب می‌شود تا ضریب‌دبی جریان تحت تأثیر قرار بگیرد. ارزیابی تغییرات آستانه در عرض‌های مختلف بیانگر این موضوع است که قرار دادن آستانه با عرض بیشتر، سبب افزایش ضریب‌دبی نسبت به آستانه با عرض کمتر می‌شود.

۴- بررسی ضریب‌دبی آستانه هم‌عرض فلوم نشان داد که ضریب‌دبی نسبت به حالت بدون آستانه  $20\%$  افزایش داشته است.

### سپاسگزاری

نویسنندگان مقاله از تمامی کسانی که در نگارش مقاله کمک کرده‌اند تقدیر و تشکر به عمل می‌آورند.

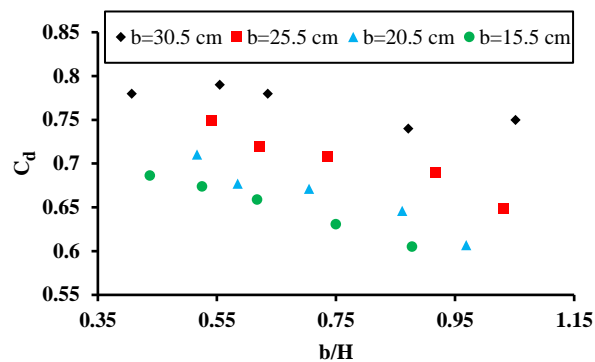
### دسترسی به داده‌ها

داده‌ها حسب درخواست، از طرف نویسنده مسئول از طریق ایمیل قابل ارسال است.

### تضاد منافع نویسنندگان

نویسنندگان این مقاله اعلام می‌دارند که، هیچ‌گونه تضاد منافعی در رابطه با نویسنندگی و یا انتشار این مقاله ندارند.

است که در یک دبی ثابت، افزایش عرض آستانه از  $15/5$  به  $30/5$  cm سبب افزایش  $15\%$  میزان ضریب‌دبی می‌شود. این در حالی است که مقایسه ضریب‌دبی در آستانه هم‌عرض فلوم نسبت به حالت بدون آستانه  $20\%$  افزایش داشته است. بررسی ضریب‌دبی در آستانه با کمترین عرض نشان داد که این آستانه دارای حداقل مقدار ضریب‌دبی در بین آستانه‌ها می‌باشد. علت هیدرولیکی این موضوع چنین بیان گردید که آستانه با عرض بزرگ‌تر، سبب کاهش مساحت مقطع عبوری جریان شده و در نتیجه باعث افزایش ضریب‌دبی می‌گردد.



شکل ۱۱- بررسی تغییرات ضریب‌دبی در عرض‌های متفاوت آستانه

Fig. 11 Discharge coefficient changes in different sill widths

در پژوهش حاضر، تأثیر کاربرد آستانه در زیر دریچه‌کشویی بر ضریب‌دبی مورد ارزیابی قرار گرفت. با بررسی ضریب‌دبی در حالت شاهد و با آستانه مشخص شد که جای‌گذاری آستانه، ضریب‌دبی را افزایش می‌دهد. نتایج مطالعه آزمایشگاهی (Alhamid 1999) نیز صحت این موضوع را تأیید می‌کند. نتایج نشان داد که با افزایش ارتفاع آستانه، ضریب‌دبی جریان افزایش می‌یابد. که با نتایج حاصل از تحقیق (Karami et al. 2020) مطابقت دارد. مقایسه نتایج تحقیق حاضر با مطالعه آزمایشگاهی Salmasi and Norouzi (2020) نشان داد که با تغییر در ابعاد آستانه از جمله ارتفاع و عرض آن، ضریب‌دبی دریچه‌کشویی تحت تأثیر قرار می‌گیرد. بهصورتی که با افزایش در ارتفاع و عرض آستانه، بازشده‌گی دریچه‌کشویی کاهش و ضریب‌دبی افزایش می‌یابد.

### ۴- نتیجه‌گیری

در پژوهش حاضر به بررسی ضریب‌دبی در ۳ حالت شامل تغییر در بازشده‌گی دریچه، ارتفاع و عرض آستانه پرداخته

## References

- Alhamid, A. A. (1999). Coefficient of discharge for free flow sluice gates. *J. King Saud. Univ. Eng. Sci.*, 11(1), 33-47. DOI: 10.1016/S1018-3639(18)30989-9.
- Amini, A. and Parto, A. A. (2017). 3D Numerical simulation of flow field around twin piles. *J. Acta Geophys.*, 65, 1243-1251. DOI: 10.1007/s11600-017-0094-x.
- Akoz, M., Kirkgoz, M. and Oner A, (2009). Experimental and Numerical Modeling of a Sluice Gate Flow. *J. Hydraul. Res.*, 47(2): 167-176. DOI: 10.3826/jhr.2009.3349.
- Aydin, M. and Emre, A. (2017). Numerical modelling of sluice gates with different sill types under submerged flow conditions. *J. Sci. Technol.*, 7(1), 1-6. DOI: 10.17678/beuscitech.310157.
- Daneshfaraz, R., Ghahramanzadeh, A. and Ghaderi, A. (2016). Investigation of the Effect of Edge Shape on Characteristics of Flow Under Vertical Gates. *J. Am. Water Works Assoc.*, 108(8), E425- E432. DOI: 10.5942/jawwa.2016.108.0102
- Daneshfaraz R, Abbaszadeh H, Gorbanvatan P, and Abdi M, (2021). Application of Sluice Gate in different Positions and Its Effect on Hydraulic Parameters in Free Flow Condition. *J. Hydraulic structures.*, 7(3), 72-87, DOI: 10.22055/JHS.2022.39208.1196.
- Daneshfaraz, R., Norouzi, R. and Ebadzadeh, P. (2022a). Experimental Investigation of non-suppressed sill effect with different geometry on flow pattern and discharge coefficient of sluice. *J. Hydraulics*, 17(3), DOI: 10.30482/jhyd.2022.316603.1566
- Daneshfaraz, R., Norouzi, R., Abbaszadeh, H., Kuriqi, A. and Francesco., S. D. (2022b). Influence of Sill on the Hydraulic Regime in Sluice Gates: An Experimental and Numerical Analysis. *J. Fluids.* (7) 7, 244. DOI.org/10.3390/fluids7070244.
- Daneshfaraz, R., Norouzi, R. and Ebadzadeh, P. (2022c). Experimental and numerical study of sluice gate flow pattern with non-suppressed sill and its effect on discharge coefficient in free-flow conditions. *J. Hydraulic Structures.*, 8(1), 1-20. DOI: 10.22055/jhs.2022.40089.1201.
- Flow Science Inc. (2016). FLOW-3D V 11.2 User's Manual, Santa Fe, NM, USA.
- Ghorbani, M. A., Salmasi, F., Saggi, M. K. and Norouzi, R. (2020). Deep learning under H2O framework: A novel approach for quantitative analysis of discharge coefficient in sluice gates. *J. Hydroinform.*, 22(6), 1603-1619. DOI:10.2166/hydro.2020.003.
- Heidari, M., Karami, S. and Adibrad, M. (2020). Investigation of free flow under the radial gate with the sill. *J. Civil Environ. Eng.*, 50.3(100), 9-19. DOI: 10.22034/jcee.2020.23384.1568
- Ilkhanipour Zeinali, R., Mousavi Jahromi, H., Kashefipour Dezfooli, M. and Fathi Mogaddam, M. (2015). Influence of gate plate slope on hydraulic characteristics of sluice gates. *J. water Soil Resour. Conserv.*, 4(4), 1-10 [In Persian]. DOI: <https://dorl.net/dor/20.1001.1.22517480.1394.4.4.1.0>.
- Karami, S., Heidari, M. M. and Adib Rad, M. H. (2020). Investigation of Free Flow Under the Sluice Gate with the Sill Using Flow-3D Model. *Iran. J. Sci. Technol. Trans. Civ. Eng.*, 44, 317–324, Doi: 10.1007/s40996-019-00310-x.
- Khalili Shayan, H., Farhodi, J. and Roshan, R. (2014). Estimation of flow discharge under the sluice and radial gates based on contraction coefficient. *J. Sci. Technol. Trans. Civ. Eng.*, 38(C2), 449-463. DOI: 10.22099/ijstc.2014.2421.
- Lin, C. H., Yen, J. F. and Tsai C. T. (2002). Influence of sluice gate contraction coefficient on distinguishing condition. *J. Irrig. Drain. Eng.*, 128(4), 249–252. DOI:

- 10.1061/(ASCE)0733-9437(2002)128:4(249).
- Mohammed, A. and Moayed, K. (2013). Gate Lip Hydraulics under Sluice gate. *J. Modern Instrumentation*. 2(1), 16-19. Doi: 10.4236/mi.2013.21003.
- Negm, A. M., Alhamid, A. A. and El-Saiad, A. A. (1988). Submerged flow below sluice gate with sill. In Proceedings of the International Conferenceon Hydro-Science and Engineering Hydro-Science and Engineering ICHE98, Cottbus/Berlin, Germany, 31 August–3 September, University of Mississippi: Oxford, MS, USA, Advances in Hydro-Science and Engineering; Volume 3.
- Rady, R. A. E. H. (2016). Modeling of flow characteristics beneath vertical and inclined sluice gates using artificial neural networks. *J. Ain Shams Eng. J.*, 7(2), 971-924. DOI: 10.1016/j.asej.2016.01.009.
- Salmasi, F. and Norouzi, R. (2020). Investigation of different geometric shapes of sills on the discharge coefficient of a vertical sluice gate. *J. Amirkabir Civil Eng.*, 5(2), 1-3 [In Persian] DOI: 10.22060/ceej.2018.14232.5596.
- Salmasi, F., Nouri, M., Sihag, P. and Abraham, J. (2021). Application of SVM, ANN, GRNN, RF, GP and RT models for predicting discharge coefficients of oblique sluice gates using experimental data. *J. Water Suppl.*, 21(1), 232-248. DOI: 10.2166/ws.2020.226.
- Salmasi, F. and Abraham J. P. (2021). Prediction of discharge coefficients for sluice gates equipped with different geometric sills under the gate using multiple non-linear regression (MNLR). *J. Hydrol.*, 597, 125728.DOI: 10.1016/j.jhydrol.2020.125728.
- Shivapur, V.A. and Prakash Shesha, N.M, (2005). Inclined sluice gate for flow measurement. *J. Hydraulic Engineering.*, 11(1), 46-56. DOI: 10.1080/09715010.2005.10514768.
- Yoosefdoost, A. and Lubitz, W. D. (2022). Sluice gate design and calibration simplified models to distinguish flow conditions and estimate discharge coefficient and flow rate. *J. Water*, 14(8), 1215. DOI: 10.3390/w14081215.

### How to cite this paper:

Daneshfaraz, R., Norouzi, R., Ebadzadeh, P. and Abbaszadeh, H. R. (2022) Numerical investigation on effective parameters on hydraulic flows in a sluice gate with sill on free-flow condition. *Environ. Water Eng.*, 8(3), 711–725. DOI: 10.22034/JEWE.2022.321259.1700